

kbar, 体积跃变 6.09%, 新相是 VII 相. L—VI 跃变非常迅速, VI—VII 转变较慢. 逆向转变时情况亦大致相同.

四氯化碳的实验结果见图 4 和表 2 所示. 它有三次相变. 第一次液相(L)变为固相(I), 压力 1.16 kbar, 体积跃变 3.02%. 第二次是固相(I)变为固相(II), 压力 2.96 kbar, 体积跃变 3.64%. 第三次也是固相转变(II—III), 压力 7.21 kbar, 体积跃变 1.08%. L—I 转变最迅速,

I—II 次之, II—III 转变最迟缓.

## 四、讨 论

Bridgman 以 4.90 kbar 的数据作为起始值. 第一次相变在 9.61 kbar, 体积跃变 7.00%, 略小于本实验, 但压力值较本实验的值高. 第二次相变压力是 21.84 kbar, 小于本实验值 22.56 kbar. 体积跃变 5.7%, 也小于本实验值 6.09%.

表 3 Bridgman 在 25°C 测定的水数据<sup>[5]</sup>

压力 (kbar)	4.90	9.61	9.81	14.71	19.61	21.84	24.52	29.42
$\Delta V(\text{cm}^3/\text{g})$	0.0000	$\begin{cases} 0.057 \\ 0.127 \end{cases}$	0.128	0.147	0.162	$\begin{cases} 0.169 \\ 0.226 \end{cases}$	0.234	0.247

对于四氯化碳, 我们仅把 Bridgman 在不同室温测定的相变压力与体积跃变值<sup>[7]</sup>列于表 4.

表 4 四氯化碳的相变压力与体积跃变

	温度(°C)	相变压力 (kbar)	体积跃变量 ( $\text{cm}^3/\text{g}$ )
L—I	14.2	~0.98	2.006%
I—II	13.8	2.94	2.343%
II—III	21.8	6.86	0.562%

显然相变压力都较本实验低, 体积跃变量也较本实验为小.

由于水和四氯化碳的固相转变都很缓慢, 本实验的相变时间充分, 固相转变较完全, 故使

我们测得的体积跃变量都较 Bridgman 的高.

## 参 考 文 献

- [1] P. W. Bridgman, *Proc. Am. Acad. Arts. Sci.*, **66** (1931), 185—233.
- [2] Г. П. Шаховский и др., *ПТЭ*, **1**(1962), 181.
- [3] S. D. Hamann et al., *Disc. Faraday Soc.*, **22** (1959), 119.
- [4] P. W. Bridgman, *Proc. Am. Acad. Arts. Sci.*, **74** (1940), 21—51.
- [5] P. W. Bridgman, *Proc. Am. Acad. Arts. Sci.*, **74** (1942), 399—424.
- [6] C. A. Rotter and C. S. Smith, *J. Phys. Chem. Solids*, **27** (1966), 267.
- [7] P. W. Bridgman, *Phys. Rev.*, **3** (1914), 126—141, 153—203.

# 激光聚爆玻璃球壳靶中氧的 X 射线谱 和各离化态的粒子数密度的分布\*

吴 存 恺 楼 祺 洪

(中国科学院上海光学精密机械研究所)

在用高 Z 材料做推进器的激光聚变靶中, 材料的离化态对流体力学热核燃烧过程有显著影响. 在文献 [1] 中, 我们计算了玻璃球壳靶中硅的 X 射线辐射谱和硅的五个高离化态的粒子数密度的分布. 计算表明把硅视为完全离化

的离子是很粗糙的近似. 本文基于文献 [1] 中的方法, 计算了氧的五个高离化态: OV, OVI, OVII, OVIII 和氧的全离化态的粒子数密度的分

\* 1980 年 3 月 17 日收到.

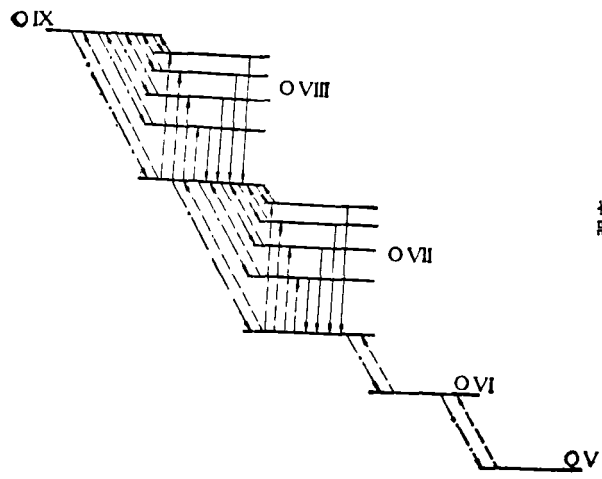


图 1 氧的五个高离化态的能级图

布及氧的类氢类氦线辐射谱。

我们考虑了五种过程：碰撞激发、碰撞离化、三体复合、辐射复合和辐射衰变。求解了氧的五个高离化态的十三个能级的粒子数密度全速率方程，其能级图如图 1 所示。各种过程的

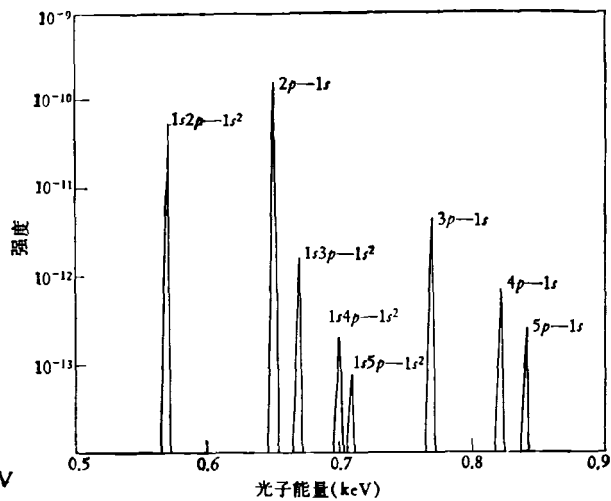


图 2 氧的类氢、类氦线辐射谱的强度分布

速率系数的公式见文献 [1] 中所列文献。对于氧，其平均 Gaunt 因子取自 Davis<sup>[2]</sup>。

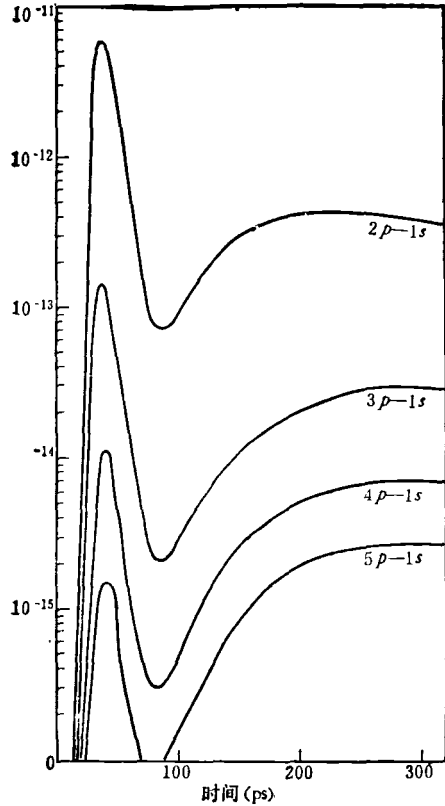


图 3 氧的类氢线辐射谱功率输出随时间的变化

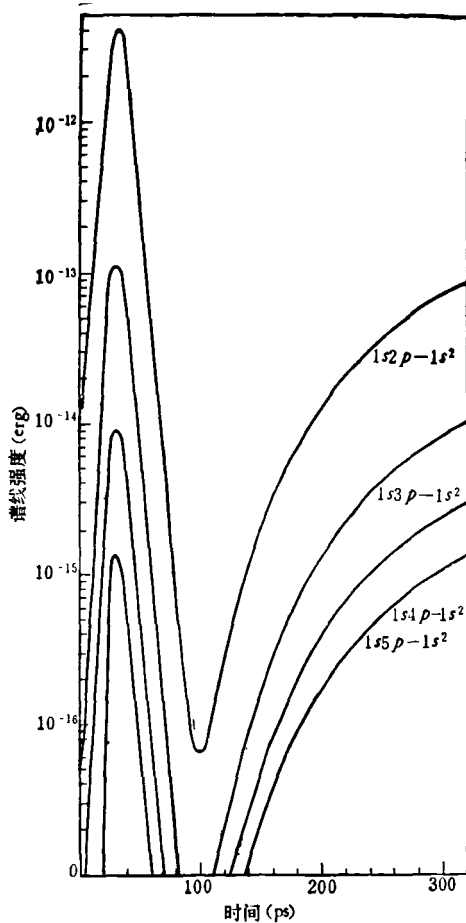


图 4 氧的类氦线辐射谱功率输出随时间的变化

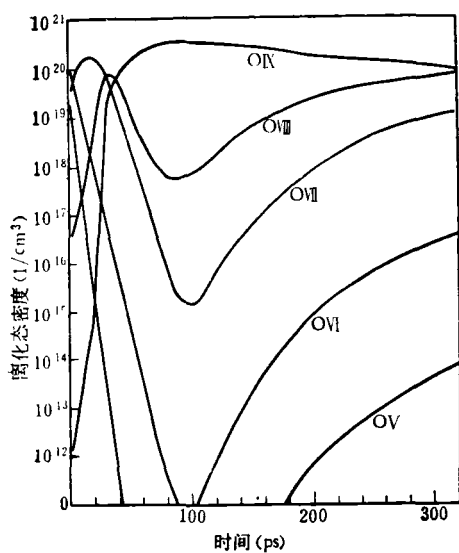


图 5 氧的五个高离化态的粒子数随时间的变化

氧的类氢、类氦的X射线辐射谱的计算结果绘于图2中。

氧的类氢线辐射谱的功率输出随时间的变

化在图3中给出。图4是氧的类氢线辐射谱功率输出随时间的变化。

由这些图我们可以看到，在临界密度面附近，氧的类氢谱线 $1s-2p$ 和类氦谱线 $(1s)^2-1s2p$ 与硅的类氢谱线有相比拟的强度，而其它的谱线强度要低一至三个数量级。

氧的五个高离化态的粒子数密度的分布随时间的变化绘于图5中。由图可以看出，由于氧的离化电位较低，因此与硅相比，在相同条件下，其离化度很高。即使聚爆已经结束，氧仍然具有很高的离化度。计算结果表明，在激光聚爆玻璃球壳靶中，不能视氧是完全离化的。

## 参 考 文 献

- [1] 吴存恺、楼祺洪,物理, 10-1 (1981), 35.
- [2] J. Davis, J. Quant. Spectrosc. Radiat. Transf., 14 (1974), 549.

## 用强脉冲无极放电光源抽运固体激光器的自由振荡特性\*

张遵遠 叶茂福

(中国科学院物理研究所)

在发展无极脉冲放电激光抽运时<sup>[1]</sup>，我们曾发现平行平面的红宝石激光腔中产生规则的、准连续的张弛振荡，这是多模耦合的特征。而钕玻璃激光在阈值的单个尖峰，相对于光源有100微秒以上的延迟。这些现象既与这些固体介质特性有关，又与这种光源的特点有关。

实验中的红宝石激光输出符合速率方程解的特征，我们先引入这个方程。一个三能级系统的腔中共有 $p_0$ 个模式，其中 $p$ 个耦合在一起如同一个模一样振荡，振荡模中光子数 $q$ 与反转布居数 $n$ 的速率方程如下<sup>[2]</sup>：

$$dq/dt = Bn(q + p/2) + BN_0p/2 - q/t_c, \quad (1)$$

$$dn/dt = W - 2Bn(q + p_0/2), \quad (2)$$

其中 $B$ 是腔中每个模、每个光子的Einstein系数， $N_0$ 是上能级粒子数 $n_2$ 与基态粒子数 $n_1$ 之和， $t_c$

是振荡模中光子在腔内的寿命， $W$ 是以光子数计算的抽运速率 $W_0$ 与阈值抽运速率 $W_{th}$ 之差。设激发态自发辐射寿命为 $\tau$ ，激光频率是 $\nu$ ，荧光线宽为 $\Delta\nu$ ，光速是 $c$ ，介质在激光频率的折射率为 $\mu$ ，腔的容积是 $V$ ，腔长为 $L$ ，离子密度是 $\rho$ ，腔端面的反射率是 $R$ ，则有 $N_0 = n_1 + n_2 = \rho V$ ， $p_0 = (8\pi\nu^2\Delta\nu\mu^3/c^3)V$ ， $n = n_2 - n_1$ ， $B = 2/\pi\rho_0\tau$ ， $W_{th} = N_0/\tau$ ， $W = W_0 - N_0/\tau$ ， $t_c = \mu L/(1-R)C$ 。张弛振荡的张弛周期 $T$ 和衰减时间 $\theta_0$ 的近似解为

$$T = 2\pi[\tau/B(X-1)N_0]^{1/2}, \quad (3)$$

$$\theta_0 = 2\tau/Bt_c(X-1)N_0, \quad (4)$$

其中 $X$ 代表抽运速率的超阈度

\* 1979年12月26日收到。